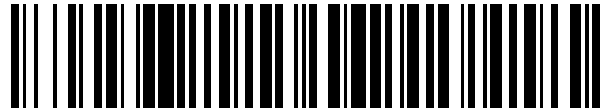


19



OFICINA ESPAÑOLA DE  
PATENTES Y MARCAS

ESPAÑA



11 Número de publicación: **2 458 433**

51 Int. Cl.:

**A61H 23/02** (2006.01)

**A61H 39/00** (2006.01)

**A61H 23/00** (2006.01)

12

TRADUCCIÓN DE PATENTE EUROPEA

T3

96 Fecha de presentación y número de la solicitud europea: **18.06.2012 E 12172494 (2)**

97 Fecha y número de publicación de la concesión europea: **15.01.2014 EP 2537504**

54 Título: **Dispositivo de masaje por resonancia y método para masajear los puntos de acupuntura en la muñeca**

30 Prioridad:

**20.06.2011 TW 100211109 U**

45 Fecha de publicación y mención en BOPI de la traducción de la patente:

**05.05.2014**

73 Titular/es:

**CHOU, LAI (100.0%)  
10F., Nº 850, Dongguang Road Beitun District  
Taichung City 406, TW**

72 Inventor/es:

**CHOU, LAI**

74 Agente/Representante:

**IZQUIERDO FACES, José**

**ES 2 458 433 T3**

Aviso: En el plazo de nueve meses a contar desde la fecha de publicación en el Boletín europeo de patentes, de la mención de concesión de la patente europea, cualquier persona podrá oponerse ante la Oficina Europea de Patentes a la patente concedida. La oposición deberá formularse por escrito y estar motivada; sólo se considerará como formulada una vez que se haya realizado el pago de la tasa de oposición (art. 99.1 del Convenio sobre concesión de Patentes Europeas).

**Dispositivo de masaje por resonancia y método para masajear los puntos de acupuntura en la muñeca****Descripción****5 Campo de la invención**

La presente invención se refiere a un dispositivo eléctrico de masaje, y más particularmente a un dispositivo eléctrico de masaje que tiene dos generadores de onda montados en lados opuestos de la muñeca de un usuario para masajear simultáneamente los puntos de acupuntura en la muñeca mediante resonancia.

10

**Descripción de la técnica anterior**

La probabilidad de que las personas sufran enfermedad cardiovascular, enfermedad digestiva y trastorno del sueño está aumentando debido a los cambios en el estilo de vida de las personas hoy en día, y por consiguiente, las personas se preocupan más por la prevención de tales enfermedades. Muchos documentos médicos chinos han mostrado que la estimulación en los puntos de acupuntura puede ciertamente prevenir enfermedades, mejorar la salud y liberar presiones. Por lo tanto, el masaje no invasivo y simple en puntos de acupuntura se ha convertido en uno de los tratamientos y métodos médicos comunes.

15

20

Se señala que los estudios médicos chinos muestran que como se muestra en la Fig. 1A, hay un punto de acupuntura Neiguan A1 en la muñeca interior A, que está localizado 4-8 cm alejado de la línea horizontal inferior de la palma. Masajear el punto de acupuntura Neiguan A1 frecuentemente puede prevenir enfermedades cardiovasculares, cerebrovasculares y digestivas. Como se muestra en la Fig. 1B, en una posición sobre la muñeca exterior opuesto al punto de acupuntura Neiguan A1, hay un punto de acupuntura Waiguan A2. Masajear el punto de acupuntura Waiguan A2 frecuentemente puede pasar a través de Qi original y mejorar la circulación de fluidos, restableciendo el flujo menstrual, activando los colaterales, regulando el flujo de Qi y aliviando el dolor. El efecto será incluso mejor si el punto de acupuntura Neiguan A1 y el punto de acupuntura Waiguan A2 se masajean simultáneamente.

25

30

La fuerza del masaje puede controlarse fácilmente palpando para conseguir un masaje más profundo cuando se usa un masaje con dedos o manos para masajear los puntos de acupuntura. Sin embargo, el masaje manual no puede durar mucho tiempo, y por lo tanto, el efecto del masaje no será bueno. Por ello, han aparecido en el mercado muchos dispositivos eléctricos vibradores para masajes o algunos anillos metálicos especiales con radiación de infrarrojo lejano, que son capaces de realizar masajes persistentemente.

35

Sin embargo, el masaje que realizan estos dispositivos eléctricos de masajes es principalmente en forma de vibración en un único punto. Por lo tanto, los dispositivos eléctricos existentes de masaje son incapaces de masajear los puntos de acupuntura Neiguan y Waiguan A1, A2 simultáneamente. Además, la fuerza de la vibración unidireccional causada por los dispositivos eléctricos de masaje se reduce cuando los dispositivos eléctricos de masaje entran en contacto con la piel, por lo que la estimulación en los puntos de acupuntura es muy limitada. En lo relativo a los anillos metálicos especiales, parece que los anillos metálicos especiales irradian rayos infrarrojos lejanos a los puntos de acupuntura Neiguan y Waiguan A1, A2 simultáneamente y persistentemente, aunque la energía de la radiación de infrarrojo lejano es muy limitada.

40

45

GB 2428580 A desvela un dispositivo de acuerdo con el preámbulo de la reivindicación 1.

La presente invención ha surgido para mitigar y/u obviar las desventajas anteriormente descritas.

**Resumen de la invención**

50

El principal objeto de la presente invención es proporcionar un dispositivo de masaje por resonancia para masajear puntos de acupuntura en la muñeca, donde el dispositivo de masaje tiene dos generadores de onda colocados en la muñeca para generar ondas periódicas en direcciones opuestas, y las ondas periódicas opuestas resuenan para crear resonancia que es capaz de masajear persistentemente los puntos de acupuntura en la muñeca.

55

Para conseguir este objeto, se propone un dispositivo de masaje por resonancia para masajear puntos de acupuntura en una muñeca de un usuario de acuerdo con la reivindicación 1. Comprende: un miembro de fijación, dos generadores de onda, una unidad de batería y una unidad de control. El miembro de fijación es una estructura anular hueca que tiene dos extremos libres acoplados entre sí. El miembro de fijación está formado entre dos extremos libres del mismo con un espacio e incluye además una superficie anular interior y una superficie anular exterior conectadas a los dos extremos libres. La superficie anular interior define un agujero de inserción para la inserción de la muñeca y está formado por dos protuberancias opuestas alrededor del agujero de inserción, y las dos protuberancias están colocadas contra la muñeca. Los dos generadores de onda tienen individualmente un cuadro de mandos y una unidad de fuente de onda dispuesta en el cuadro de mandados, y están dispuestos en el espacio del miembro de fijación y situados en correspondencia con las protuberancias. La unidad de batería está dispuesta

60

65

en el miembro de fijación y eléctricamente conectada a los cuadros de mandos de los generadores de onda. La unidad de control está dispuesta en el miembro de fijación eléctricamente conectada a la unidad de batería para controlar que los generadores de onda emitan ondas periódicas de 60 a  $7,9 \times 10^{14}$  Hz hacia las protuberancias del miembro de fijación, y después las ondas periódicas se transmiten a la muñeca por medio de las protuberancias para generar masaje por resonancia.

**Breve descripción de los dibujos**

La Fig. 1A muestra el punto de acupuntura Neiguan en la muñeca;  
 La Fig. 1B muestra el punto de acupuntura Waiguan en la muñeca;  
 La Fig. 2 es una vista en perspectiva de un dispositivo de masaje por resonancia para masajear puntos de acupuntura en la muñeca de acuerdo con una realización preferente de la presente invención;  
 La Fig. 3 es una vista en sección transversal del dispositivo de masaje por resonancia para masajear puntos de acupuntura en la muñeca de acuerdo con la realización preferente de la presente invención;  
 La Fig. 4 es un diagrama de bloques que muestra el dispositivo de masaje por resonancia para masajear puntos de acupuntura en la muñeca de acuerdo con la realización preferente de la presente invención;  
 La Fig. 5 muestra que dispositivo de masaje por resonancia para masajear puntos de acupuntura en la muñeca de la presente invención se lleva puesto en la muñeca de un usuario.  
 La Fig. 6 es una vista en perspectiva de un dispositivo de masaje por resonancia para masajear puntos de acupuntura en la muñeca de acuerdo con la presente invención, donde los generadores de onda son motores con vibración;  
 La Fig. 7 es una vista en perspectiva de un dispositivo de masaje por resonancia para masajear puntos de acupuntura en la muñeca de acuerdo con la presente invención, donde los generadores de onda son osciladores de cristal;  
 La Fig. 8 es una vista en perspectiva de un dispositivo de masaje por resonancia para masajear puntos de acupuntura en la muñeca de acuerdo con la presente invención, donde los generadores de onda son generadores de onda electromagnéticos;  
 La Fig. 9 es una vista en perspectiva de un dispositivo de masaje por resonancia para masajear puntos de acupuntura en la muñeca de acuerdo con otra realización de la presente invención;  
 La Fig. 10 es una vista en perspectiva de un dispositivo de masaje por resonancia para masajear puntos de acupuntura en la muñeca de acuerdo con otra realización de la presente invención; y  
 La Fig. 11 es un diagrama de flujo que muestra las etapas del método de masaje usado en combinación con el dispositivo de masaje por resonancia para masajear puntos de acupuntura en la muñeca de acuerdo con la presente invención.

**Descripción detallada de las realizaciones preferentes**

La presente invención será más clara a partir de la siguiente descripción cuando se ve junto con los dibujos acompañantes, que muestran, con el fin ilustrativo solamente, la realización preferente de acuerdo con la presente invención.

En referencia a las Figs. 2-5, un dispositivo de masaje por resonancia para masajear puntos de acupuntura en la muñeca de acuerdo con una realización preferente de la presente invención se llevará en la muñeca A de un usuario y comprende: un miembro de fijación 10, dos generadores de onda 20, una unidad de batería 30 y una unidad de control 40.

El miembro de fijación 10, como se muestra en la Figs. 2 y 3, es una estructura anular hueca que tiene dos extremos libres acoplados entre sí. El miembro de fijación 10 está formado entre dos extremos libres del mismo con un espacio 11 e incluye además una superficie anular interior 101 y una superficie anular exterior 102 conectadas a los dos extremos libres. La superficie anular interior 101 define un agujero de inserción 103 para la inserción de la muñeca A y dos protuberancias opuestas 12 alrededor del agujero de inserción 103, como se muestra en las Figs. 3 y 5, y las dos protuberancias están colocadas contra la muñeca.

En esta realización, el miembro de fijación 10 es una estructura anular hueca flexible íntegramente formada, y los dos extremos libres del miembro de fijación 10 son una parte de acoplamiento 13 y una parte de cierre 14. La parte de cierre 14 está formada por una cámara receptora 141 que está formada sobre una superficie interior de la misma adyacente a la superficie anular interior 101 con una superficie dentada 142. La parte de cierre 14 está además formada por un agujero roscado 143 que está situado en la superficie anular exterior 102 y en comunicación con la cámara receptora 141. La parte de acoplamiento 13 se recibe en la cámara receptora 141 y está formada por una pluralidad de dientes 131 para enganchar con la superficie dentada 142. Se atornilla un perno 144 en el agujero roscado 143 para empujar contra la parte de acoplamiento 13. Mediante tales disposiciones, el tamaño del agujero de inserción 103 puede ajustarse de manera sencilla para adaptarse a las muñecas A de diferentes tamaños cambiando la posición de la parte de acoplamiento 13 con respecto a la parte de cierre 14. El perno 144 empuja contra la parte de acoplamiento 13 para empujar las protuberancias 12 del miembro de fijación 10 contra la muñeca de un usuario, para que la onda periódica pueda transmitirse de manera segura en el cuerpo del usuario.

En referencia a las Figs. 2 y 3, los dos generadores de onda 20 incluyen individualmente un cuadro de mandos 21 y una unidad de fuente de onda 22 dispuesta en el cuadro de mandos 21. Los generadores de onda 20 están dispuestos en el espacio 11 del miembro de fijación 10 y situados en correspondencia con las protuberancias 12. En esta realización, los generadores de onda 20 emiten ondas periódicas de  $60-7,9 \times 10^4$  Hz hacia las protuberancias 12 del miembro de fijación 10 y las ondas periódicas se conducen en direcciones opuestas para crear resonancia en la muñeca A, y como consecuencia da como resultado un efecto de masaje por resonancia en el punto de acupuntura Neiguan A1 y el punto de acupuntura Waiguan A2.

En referencia a las Figs. 3 y 4, la superficie anular exterior 102 del miembro de fijación 10 está formada por una ranura receptora 18 para contener la unidad de batería 30, la ranura receptora 18 está sellada con una cubierta 181, y la unidad de batería 30 está eléctricamente conectada a los cuadros de mandos 21 de los dos generadores de onda 20. La unidad de control 40 está eléctricamente conectada a la unidad de batería 30 para controlar los generadores de onda 20 para emitir ondas periódicas hacia las protuberancias 12 del miembro de fijación 10, y después las ondas periódicas se transmiten a la muñeca por medio de las protuberancias 12 para generar masaje por resonancia. En esta realización, la unidad de control 40 incluye un circuito de control 41 eléctricamente conectado a la unidad de batería 30, un monitor 45 integrado en la superficie anular exterior 102 del miembro de fijación 10 y eléctricamente conectado al circuito de control 41, y una tecla de Encendido/Apagado 42, una tecla de reinicio 43 y una tecla de modo 44 que están eléctricamente conectadas al circuito de control 41.

La onda periódica generada por las unidades de fuente de onda 22 de los generadores de onda 20 puede seleccionarse del grupo consistente en onda expansiva, onda sónica, onda ultrasónica, onda electromagnética, onda de infrarrojo lejano, onda ligera y onda biológica de masaje. La frecuencia de la onda expansiva es preferentemente  $3,6 \times 10^3$  a  $40 \times 10^3$  Hz y la onda ultrasónica es preferentemente  $20 \times 10^3$  a  $20 \times 10^6$  Hz. La longitud de onda de la onda de infrarrojo lejano es preferentemente  $3 \times 10^3$  a  $2,5 \times 10^4$  nm, y la de la onda ligera es preferentemente 380-780 nm.

Como se muestra en la Fig. 6, cuando se emiten ondas expansivas, las unidades de fuente de onda 22 pueden ser un motor con vibración. Las protuberancias 12 del miembro de fijación 10 tienen forma de bloques sólidos de masaje. Las unidades de fuente de onda 22 incluyen individualmente un armazón 221 y una fuente de alimentación 222 dispuesta en el armazón 221. La fuente de alimentación 222 tiene un eje de transmisión 223 que se usa para hacer girar un bloque excéntrico 224 dispuesto en el extremo del eje de transmisión 223 para generar la onda expansiva. Como se muestra en la Fig. 7, la unidad de fuente de onda 22 es un oscilador de cristal que incluye una base 225 formada por una pluralidad de terminales 226 para acoplarse en los cuadros de mandos 21, y cuando la base 225 se enciende producirá ondas expansivas.

Como se muestra en la Fig. 8, las protuberancias 12 del miembro de fijación 10 son cubiertas huecas. La unidad de fuente de onda 22 es un generador de onda electromagnética provisto de un generador de rayo infrarrojo lejano 227, y el generador de rayo infrarrojo lejano 227 está dispuesto dentro de las protuberancias 12 y emite rayos infrarrojos lejanos hacia los puntos de acupuntura en la muñeca A.

Después en referencia a las Figs. 4, 9 y 10, se proporciona un dispositivo de masaje por resonancia para masajear puntos de acupuntura en la muñeca de acuerdo con otra realización preferente de la presente invención con dos partes receptoras 15 en la mitad del miembro de fijación 10, y las dos partes receptoras 15 están conectadas mediante una parte conectora 16. Las partes receptoras 15 tienen individualmente una estructura hueca con un lado conectado a la parte conectora 16 y otro lado conectado a un extremo libre del miembro de fijación 10. Los extremos libres del miembro de fijación 10 están individualmente formados por una cinta de velcro 17. La parte conectora 16 es un miembro elástico hueco y en comunicación con el interior de las dos partes receptoras 15 constituye el espacio 11 dentro del miembro de fijación 10. Después, los dos extremos libres del miembro de fijación 10 están atados por las cintas de velcro 17 para hacer que el miembro de fijación 10 se transforme en una estructura anular con la superficie anular interior y exterior 101, 102. Las protuberancias 12 están formadas en las partes receptoras 15 y situadas alrededor de la superficie anular interior 101. En cada una de las partes receptoras 15 se forma un generador de onda 20, y la unidad de batería 30 está dispuesta en una de las partes receptoras 15. Los dos generadores de onda 20, la unidad de batería 30 y la unidad de control 40 están eléctricamente conectadas por la parte conectora 16.

Después en referencia a las Figs. 3, 5, 7 y 11, hay un punto de acupuntura Neiguan A1 en la muñeca interior A, y en oposición en la muñeca exterior opuesto al punto de acupuntura Neiguan, hay un punto de acupuntura Waiguan A2. Un método de masaje por resonancia usado en combinación con el dispositivo de masaje por resonancia para masajear puntos de acupuntura en la muñeca de acuerdo con la realización preferente de la presente invención comprende las etapas de:

E1 poner el dispositivo de masaje por resonancia en la muñeca: insertar la muñeca de un usuario en el agujero de inserción 103 del dispositivo de masaje por resonancia, y hacer que las dos protuberancias 12 en la superficie anular interior 101 empujen contra el punto de acupuntura Neiguan A1 y el punto de acupuntura Waiguan A2.

E2 emisión de onda periódica; usar la unidad de control 40 para controlar las unidades de fuente de onda 22 de los generadores de onda 20 y hacer que las unidades de fuente de onda 22 emitan una onda periódica con una longitud de onda de 380 a  $2,5 \times 10^4$  nm hacia las protuberancias, y después las ondas periódicas se transmiten a los puntos de acupuntura Neiguan y Waiguan A1, A2 a través de las dos protuberancias 12.

5 E3 masajear con resonancia de onda periódica: definir que una de las ondas periódicas es una primera onda periódica que se transmite del punto de acupuntura Waiguan A2 al punto de acupuntura Neiguan A1, y la otra de las ondas periódicas es una segunda onda periódica que se transmite del punto de acupuntura Neiguan A1 al punto de acupuntura Waiguan A1. La primera y segunda onda periódica se transmiten simultáneamente entre el punto de acupuntura Neiguan A1 y el punto de acupuntura Waiguan A2 y resuenan para formar una tercera onda periódica que tiene una frecuencia superior a la primera y segunda onda periódica.

10 En esta realización, la primera y segunda onda periódica tienen la misma frecuencia y masajean los puntos de acupuntura Neiguan y Waiguan A1, A2 simultáneamente mediante resonancia, y la frecuencia es preferentemente  $1 \times 10^4 \pm 3,5 \times 10^3$  Hz. La primera y segunda onda periódica también pueden tener diferentes frecuencias.

20 Los anexos muestran los resultados del test de valor de bioimpedancia conducido en dos sujetos usando Ryodoraku, donde los datos mostrados en la mitad superior de los respectivos anexos son los valores de bioimpedancia de los órganos específicos obtenidos al analizar la mitad izquierda y derecha del cuerpo de los sujetos. La mitad inferior de los respectivos anexos muestra una comparación entre los valores de bioimpedancia de los órganos específicos de los sujetos y un valor medio de bioimpedancia personalizado, donde el valor medio de bioimpedancia se calcula en base a los valores de bioimpedancia anteriormente mencionados, y los valores de bioimpedancia de los órganos específicos de los sujetos están conectados para formar las curvas. Cuanto más pequeña es la amplitud de las curvas mejor.

**El primer sujeto**

30 Como se muestra en el anexo 1-1, antes de masajear al primer sujeto con el dispositivo de masaje por resonancia de la presente invención, el valor medio de bioimpedancia del primer sujeto es 103 y la amplitud de la curva en las posiciones correspondientes al bazo, vejiga, vesícula biliar es grande, y la desviación máxima de la curva (en estas tres posiciones) desde el valor medio es superior a 30. El anexo 1-2 muestra que, después de masajear los puntos de acupuntura en la muñeca del primer sujeto usando el dispositivo de masaje por resonancia de la presente invención durante 20 minutos, la desviación máxima de la curva (en estas tres posiciones) desde el valor medio de bioimpedancia disminuyó a menos de 20, y después, como se muestra en la Fig. 1-3, la amplitud de la curva se vuelve más pequeña después de masajear los puntos de acupuntura en la muñeca mediante el dispositivo de masaje por resonancia de la presente invención durante 60 minutos.

**El segundo sujeto**

40 Como se muestra en el anexo 2-1-1 y 2-1-2, antes de masajear al segundo sujeto con el dispositivo de masaje por resonancia de la presente invención, el valor medio de bioimpedancia del primer sujeto es 77 y la amplitud de la curva en las posiciones correspondientes al intestino delgado, hígado, riñón y vesícula biliar es grande, y la desviación máxima de la curva (en estas cuatro posiciones) desde el valor medio es superior a 30. El anexo 2-2 muestra que, después de masajear los puntos de acupuntura en la muñeca del segundo sujeto usando el dispositivo de masaje por resonancia de la presente invención durante 40 minutos, la desviación máxima de la curva desde el valor medio de bioimpedancia disminuyó a menos de 20, y después, la amplitud de la curva se vuelve más pequeña.

50 Por ello, el test de valor de bioimpedancia conducido en dos sujetos muestra que el masaje por resonancia causado por la onda periódica en los puntos de acupuntura de la muñeca realizado por el dispositivo de masaje de la presente invención puede liberar dolor y otros síntomas, acelerando la circulación sanguínea y la eliminación de impurezas del cuerpo. Además, el método y dispositivo de masaje de la presente invención proporcionan un efecto mejor de la mejora de la salud que el método convencional de masajear introduciendo onda periódica en una dirección unidireccional.

55 Mientras hemos mostrado y descrito varias realizaciones de acuerdo con la presente invención, está claro para aquellos expertos en la técnica que pueden hacerse más realizaciones sin partir del alcance de la presente invención, como lo definen las reivindicaciones.

60

65

**ANEXO 1-1**

Antes de mejorar la circulación linfática  
 Tabla de análisis meridional de acupuntura  
 Ryodoraku (para estudio académico)

5

Dirección:

TEL:

Nombre: Srta. CHEN

Femenino: F

edad: 45

fecha: 18/12/89

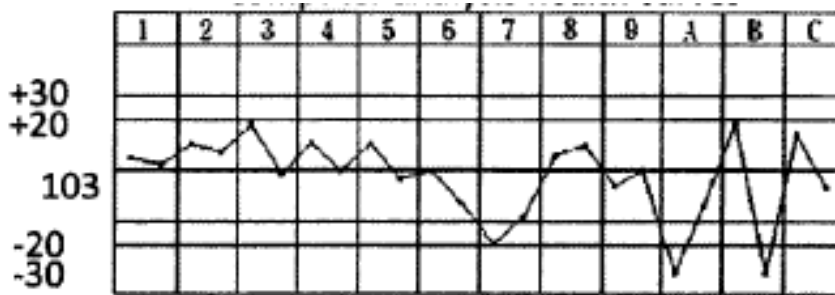
Número:

10

	1	2	3	4	5	6	7	8	9	A	B	C
	Pulmón	Sangre	Corazón	Intestino delgado	Linfa	Intestino grueso	Bazo	Hígado	Riñón	Vejiga	Besícula viliar	Estómago
Izquierda	132	124	109	124	145	132	73	91	91	57	101	113
Derecha	129	121	91	112	126	112	83	95	97	83	48	90

15

<<<<Curvas de salud de análisis por ordenador>>>>



30

30	bazo-xuzheng	Órganos relacionados: cerebro, estómago, región costal, bazo, páncreas	Punto de excitación: taidu	Punto común: diji
Fenómenos fisiológicos: anomalidades fecales, diarrea, vómito, distensión abdominal, sensación de incomodidad después de flatulencia, fatiga, falta de apetito, somnolencia, ictericia.				
30	vejiga-xuzheng	Órganos relacionados: ojo, pituitaria, nariz, vejiga	Punto de excitación: zhiyin	Punto común: heyang
Fenómenos fisiológicos: dolor posterior de cuello, dolor de espalda y cadera, nervios anormales en los pies, ciática, dolor de pies, hemorroides, frío en la espalda, debilidad en las piernas, micción frecuente				
30	vesícula biliar-xuzheng	Órganos relacionados: ojo, cabeza, músculos, vesícula biliar	Punto de excitación: xiahuo	Punto común: waigiu
Fenómenos fisiológicos: desmayo, anomalidades oculares, manos y pies pesados, incapacidad para andar de manera estable, micción frecuente y mal aspecto, presión arterial				

45

50

55

60

65

**ANEXO 1-2**

encontrar mejora obvia después de mejorar la circulación linfática durante 20 minutos  
 Tabla de análisis meridional de acupuntura Ryodoraku (para estudio académico)

5

Dirección:

TEL:

Nombre: Srta. CHEN

Femenino: F

edad: 45

fecha:

Número:

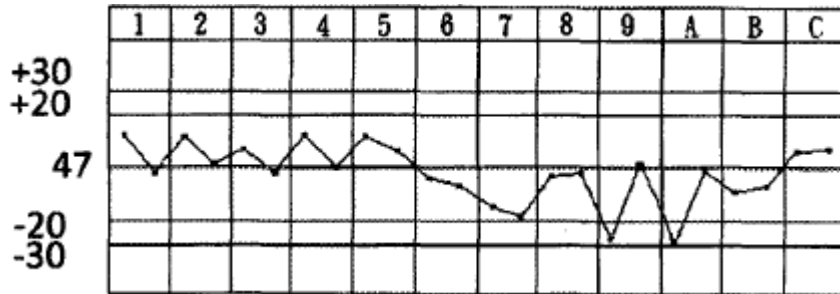
10

	1	2	3	4	5	6	7	8	9	A	B	C
	Pulmón	Sangre	Corazón	Intestino delgado	Linfa	Intestino grueso	Bazo	Hígado	Riñón	Vejiga	Besícula viliar	Estómago
Izquierda	76	66	50	67	78	56	32	36	17	15	31	53
Derecha	57	56	40	50	50	50	27	39	48	43	33	54

15

<<<<Curvas de salud de análisis por ordenador>>>>

20



25

30

30

<b>30</b>	vejiga-xuzheng	Órganos relacionados: ojo, pituitaria, nariz, vejiga	Punto de excitación: zhiyin	Punto común: heyang
Fenómenos fisiológicos: dolor posterior de cuello, dolor de espalda y cadera, nervios anormales en los pies, ciática, dolor de pies, hemorroides, frío en la espalda, debilidad en las piernas, micción frecuente				

35

40

45

50

55

60

65

**ANEXO 1-3**

encontrar mejora después de mejorar la circulación linfática durante 60 minutos  
 Tabla de análisis meridional de acupuntura Ryodoraku (para estudio académico)

5

Dirección:

TEL:

Nombre: Srta. CHEN

Femenino: F

edad: 45

fecha:

Número:

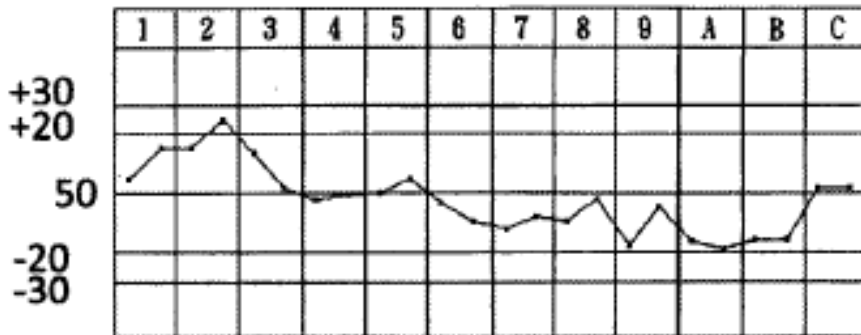
10

	1	2	3	4	5	6	7	8	9	A	B	C
	Pulmón	Sangre	Corazón	Intestino delgado	Linfa	Intestino grueso	Bazo	Hígado	Riñón	Vejiga	Besícula viliar	Estómago
Izquierda	70	73	59	51	67	59	38	34	30	31	28	52
Derecha	81	83	48	53	73	51	42	39	43	29	28	52

15

20

<<<<Curvas de salud de análisis por ordenador>>>>



35

40

45

50

55

60

65

**ANEXO 2-1-1**

antes de mejorar la circulación linfática  
 Tabla de análisis meridional de acupuntura Ryodoraku (para estudio académico)

5

Dirección:

TEL:

Nombre: Sr. Sun

Masculino:M

edad: 48

fecha: 18/12/89

Número:

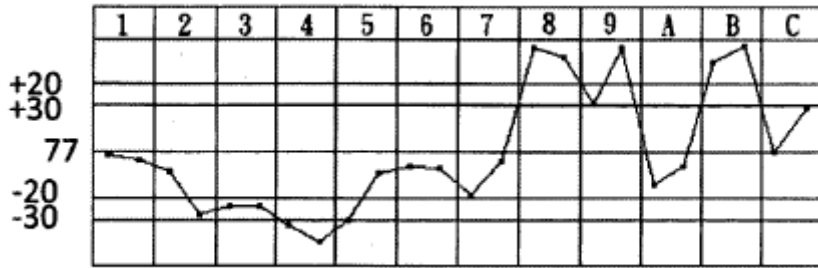
10

	1	2	3	4	5	6	7	8	9	A	B	C
	Pulmón	Sangre	Corazón	Intestino delgado	Linfá	Intestino grueso	Bazo	Hígado	Riñón	Vejiga	Besícula viliar	Estómago
Izquierda	90	73	45	47	58	88	58	112	97	59	99	74
Derecha	87	51	46	39	85	87	72	100	131	65	112	94

15

<<<<Curvas de salud de análisis por ordenador>>>>

20



30

35

40

45

50

55

60

65

ANEXO 2-1-2

5	30	intestino delgado-xuzheng	Órganos relacionados: intestino delgado, lengua, oídos, ojos	Punto de excitación: houhuo	Punto común: xiaotao, zhizheng
	Fenómenos fisiológicos: dolor de cabeza, tamborileo en los oídos, dolor posterior de oído, audición pobre, ojos amarillos, diarrea, sensación de frío, manos y pies fríos				
10	30	vaso linfático-xuzheng	hombro, páncreas, rumiguanmu, vaso linfático, oídos	Punto de excitación: zhongzhu	Punto común: siqing
	Fenómenos fisiológicos: estómago hinchado, dificultad para respirar, un poco de fiebre, somnolencia y cansancio				
15	30	hígado-xuzheng	Órganos relacionados: región costal, músculos, genitales, ojos, hígado	Punto de supresión: hangjian	Punto común: xiguan
	Fenómenos fisiológicos: desmayo, dolor de ojos, dolor de genitales, malestar físico, dolor en el cadera, insomnio, irascibilidad, fiebre que va y viene de vez en cuando				
20	30	riñón-xuzheng	Órganos relacionados: ojos, hueso, cavidad nasal, cerebro, riñón	Punto de supresión: yongquan	Punto común: zhushi
	Fenómenos fisiológicos: enfermedad genital, lengua y boca seca, anomalías del abdomen inferior, tensión en el pecho, jadeo y tos, pies calientes, humor inestable, presión arterial, escupir sangre, hematemesis, descenso de sangre				
25	30	vesícula biliar-xuzheng	Órganos relacionados: ojo, cabeza, músculos, vesícula biliar	Punto de supresión: yangfu	Punto común: waiqiu
	Fenómenos fisiológicos: dolor de cabeza, pesadez de cabeza, pérdida de apetito, sensación de frío, fiebre, sudor, migraña, irascibilidad				
30					
35					
40					
45					
50					
55					
60					
65					

**ANEXO 2-2**

encontrar mejora obvia después de mejorar la circulación linfática durante 40 minutos  
 Tabla de análisis meridional de acupuntura Ryodoraku (para estudio académico)

5

Dirección:

TEL:

Nombre: Sr. Sun

Masculino:M

edad: 48

fecha: 18/12/89

Número:

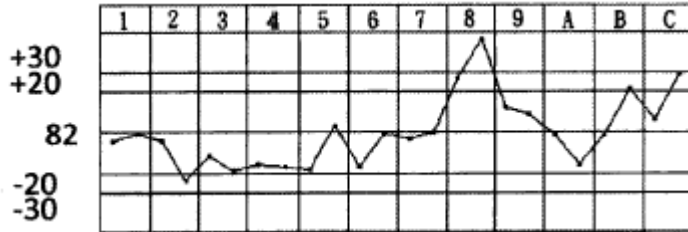
10

	1	2	3	4	5	6	7	8	9	A	B	C
	Pulmón	Sangre	Corazón	Intestino delgado	Linfa	Intestino grueso	Bazo	Hígado	Riñón	Vejiga	Besícula viliar	Estómago
Izquierda	92	82	61	70	79	81	78	91	92	76	65	88
Derecha	100	61	55	68	110	102	82	110	89	62	88	109

15

<<<<Curvas de salud de análisis por ordenador>>>>

20



25

30

30	síndrome de exceso de hígado	Órganos relacionados: hombro, rumiguanmu, oídos	relacionados: páncreas, vaso linfático,	Punto de excitación: hangjian	Punto común: xiguan
35	Fenómenos fisiológicos: estómago hinchado, dificultad para respirar, un poco de fiebre, somnolencia y cansancio 30-síndrome de exceso de estómago				
40	síndrome de exceso de estómago	Órganos relacionados: párpado, espíritu, estómago, nariz	relacionados: galactóforo, boca, diente,	Punto de supresión: shudui	Punto común: xiguan
	Fenómenos fisiológicos: lengua y boca seca, artralgia, mastitis, gran apetito, fiebre sin sudor, hipo.				

45

50

55

60

65

**Reivindicaciones**

1. Un dispositivo de masaje por resonancia para masajear puntos de acupuntura en una muñeca de un usuario, que se llevará puesto en la muñeca del usuario, que comprende:
- 5 un miembro de fijación (10) que es una estructura hueca anular que tiene dos extremos libres acoplados entre sí, estando formado el miembro de fijación (10) entre los dos extremos libres del mismo con un espacio (11) y que además incluye una superficie anular interior (101) y una superficie anular exterior (102) conectadas a los dos extremos libres, definiendo la superficie anular interior un agujero de inserción (103) para la inserción de la muñeca (A) y que está formado por dos protuberancias opuestas (12) alrededor del agujero de inserción (103) , que están colocadas contra la muñeca (A) cuando el dispositivo se monta en la muñeca (A);
- 10 dos generadores de onda (20) dispuestos en el espacio (11) del miembro de fijación (10) y situados en correspondencia con las protuberancias (12);
- una unidad de batería (30) dispuesta en el miembro de fijación (10); y
- 15 una unidad de control (40) dispuesta en el miembro de fijación (10) eléctricamente conectada a la unidad de batería (30);
- el dispositivo de masaje por resonancia estando **caracterizado porque:**
- los dos generadores de onda (20) tienen individualmente un cuadro de mandos (21) y una unidad de fuente de onda (22) dispuesta en el cuadro de mandos (21).
- 20 la unidad de batería (30) está eléctricamente conectada a los cuadros de mandos (21) de los generadores de onda (20);
- y la unidad de control (40) controla los generadores de onda (20) para emitir ondas periódicas de  $60\text{-}7,9 \times 10^{14}$  Hz hacia las protuberancias (12) del miembro de fijación (10), para que cuando el dispositivo esté montado en la muñeca (A), las ondas periódicas se transmitan a la muñeca (A) por medio de las protuberancias (12) en direcciones opuestas, y las ondas periódicas opuestas creen resonancia que es capaz de masajear persistentemente los puntos de acupuntura en la muñeca (A).
- 25
2. El dispositivo de masaje por resonancia como el reivindicado en la reivindicación 1, donde el miembro de fijación (10) es una estructura anular hueca flexible, los dos extremos libres del miembro de fijación (10) son una parte de acoplamiento (13) y una parte de cierre (14), la parte de cierre (14) está formada por una cámara receptora (141) que está formada sobre una superficie interior de la misma adyacente a la superficie anular interior (101) con una superficie dentada (142), la parte de cierre (14) está además formada por un agujero roscado (143) que está situado en la superficie anular exterior (102) y en comunicación con la cámara receptora (141), la parte de acoplamiento (13) se recibe en la cámara receptora (141) y está formada por una pluralidad de dientes (131) para enganchar con la superficie dentada (142), y se atornilla un perno (144) en el agujero roscado (143) para empujar contra la parte de acoplamiento (13).
- 30
3. El dispositivo de masaje por resonancia como el reivindicado en la reivindicación 1, donde se proporcionan dos partes receptoras (15) en una mitad del miembro de fijación (10), y las dos partes receptoras (15) están conectadas mediante una parte conectora (16), las partes receptoras (15) son individualmente una estructura hueca con un lado conectado a la parte conectora (16) y otro lado conectado a uno de los extremos libres del miembro de fijación (10), los extremos libres del miembro de fijación (10) están formados individualmente por una cinta de velcro (17), la parte conectora (16) es un miembro elástico hueco y en comunicación con un interior de las dos partes receptoras (15) para constituir un espacio (11) del miembro de fijación (10), los dos extremos libres del miembro de fijación (10) están atados mediante las cintas de velcro (17) para hacer que el miembro de fijación (10) se transforme en una estructura anular con la superficie anular interior y exterior (101), (102), las protuberancias (12) están formadas en las partes receptoras (15) y situadas alrededor de la superficie anular interior (101), en cada una de las partes receptoras (15) se forma uno de los generadores de onda (20), y la unidad de batería (30) está dispuesta en una de las partes receptoras (15), y los dos generadores de onda (20), la unidad de batería (30) y la unidad de control (40) están eléctricamente conectados por la parte conectora (16).
- 40
4. El dispositivo de masaje por resonancia como el reivindicado en la reivindicación 1, donde la superficie anular exterior (102) del miembro de fijación (10) está formada por una ranura receptora (18) para contener la unidad de batería (30), y la ranura receptora (18) está sellada con una cubierta (181).
5. El dispositivo de masaje por resonancia como el reivindicado en la reivindicación 1, donde las protuberancias (12) del miembro de fijación (10) tienen forma de bloques sólidos de masaje, las unidades de fuente de onda (22) son un motor con vibración para generar ondas periódicas de  $3,6 \times 10^3$  a  $40 \times 10^3$  Hz a las protuberancias (12).
- 45
6. El dispositivo de masaje por resonancia como el reivindicado en la reivindicación 1, donde las protuberancias (12) del miembro de fijación (10) tienen forma de bloques sólidos de masaje, las unidades de fuente de onda (22) son un oscilador de cristal para generar ondas periódicas de  $3,6 \times 10^3$  a  $40 \times 10^3$  Hz a las protuberancias (12).
- 60
7. El dispositivo de masaje por resonancia como el reivindicado en la reivindicación 1, donde las protuberancias (12) del miembro de fijación (10) son cubiertas huecas, y la unidad de fuente de onda (22) es un generador de onda electromagnética provisto de un generador de rayo infrarrojo lejano (227) para generar ondas periódicas de 380 a  $2,5 \times 10^4$  nm a las protuberancias (12).
- 65

8. El dispositivo de masaje por resonancia como el reivindicado en la reivindicación 1, donde la unidad de control (40) incluye un circuito de control (41) eléctricamente conectado a la unidad de batería (30), un monitor (45) integrado en la superficie anular exterior (102) del miembro de fijación (10) y eléctricamente conectado al circuito de control (41), y una tecla de Encendido/Apagado (42), una tecla de reinicio (43) y una tecla de modo (44) que están eléctricamente conectadas al circuito de control (41).

5

10

15

20

25

30

35

40

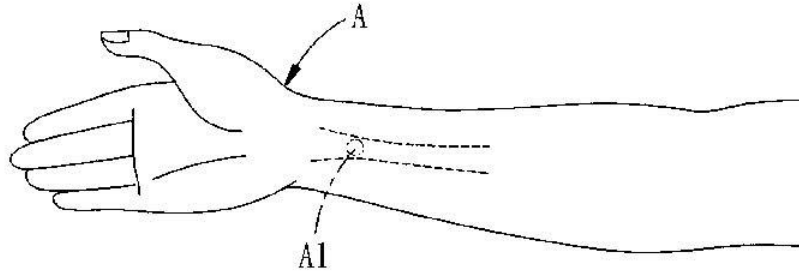
45

50

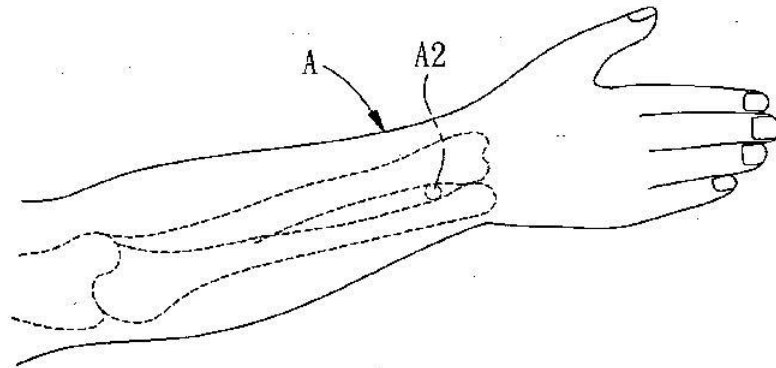
55

60

65



**FIG. 1A**  
Estado de la Técnica



**FIG. 1B**  
Estado de la Técnica

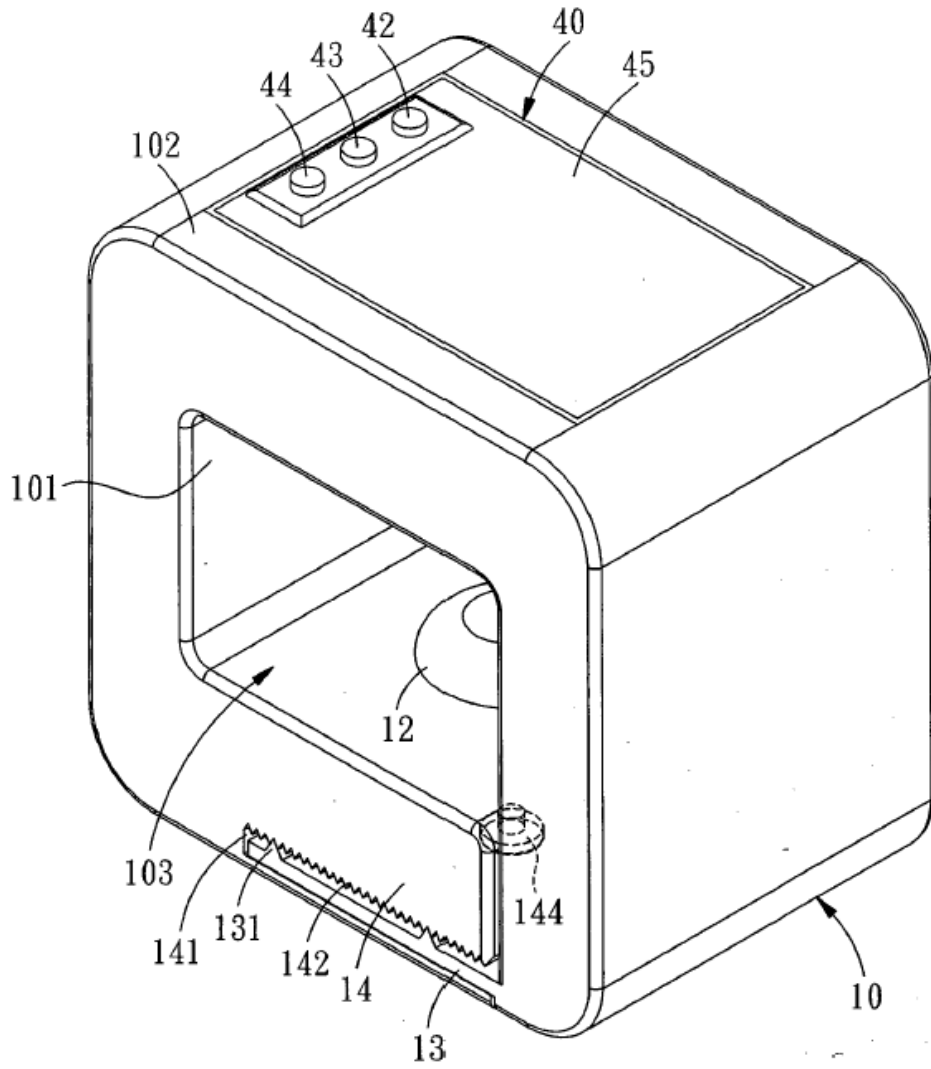


FIG. 2

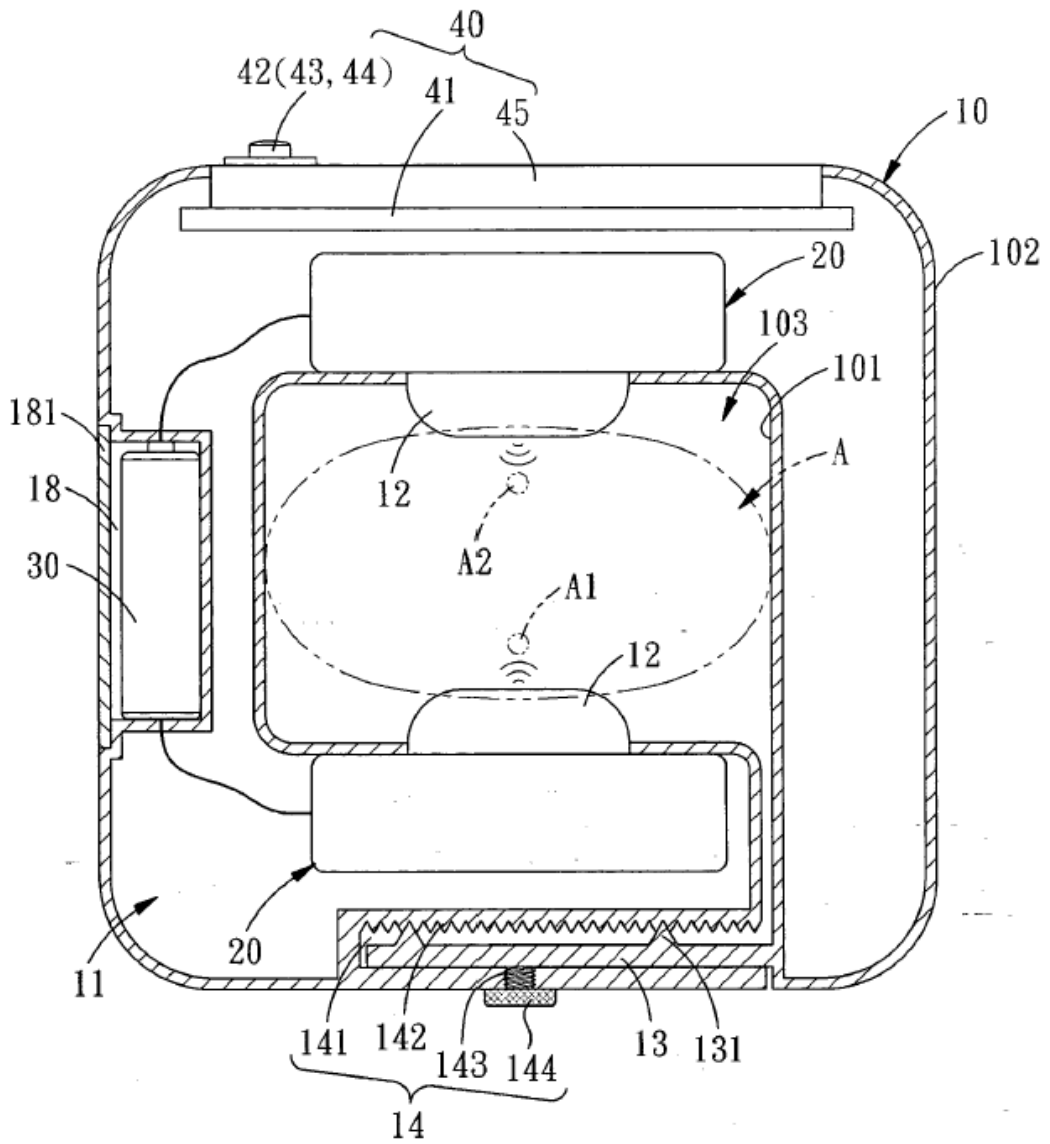


FIG. 3

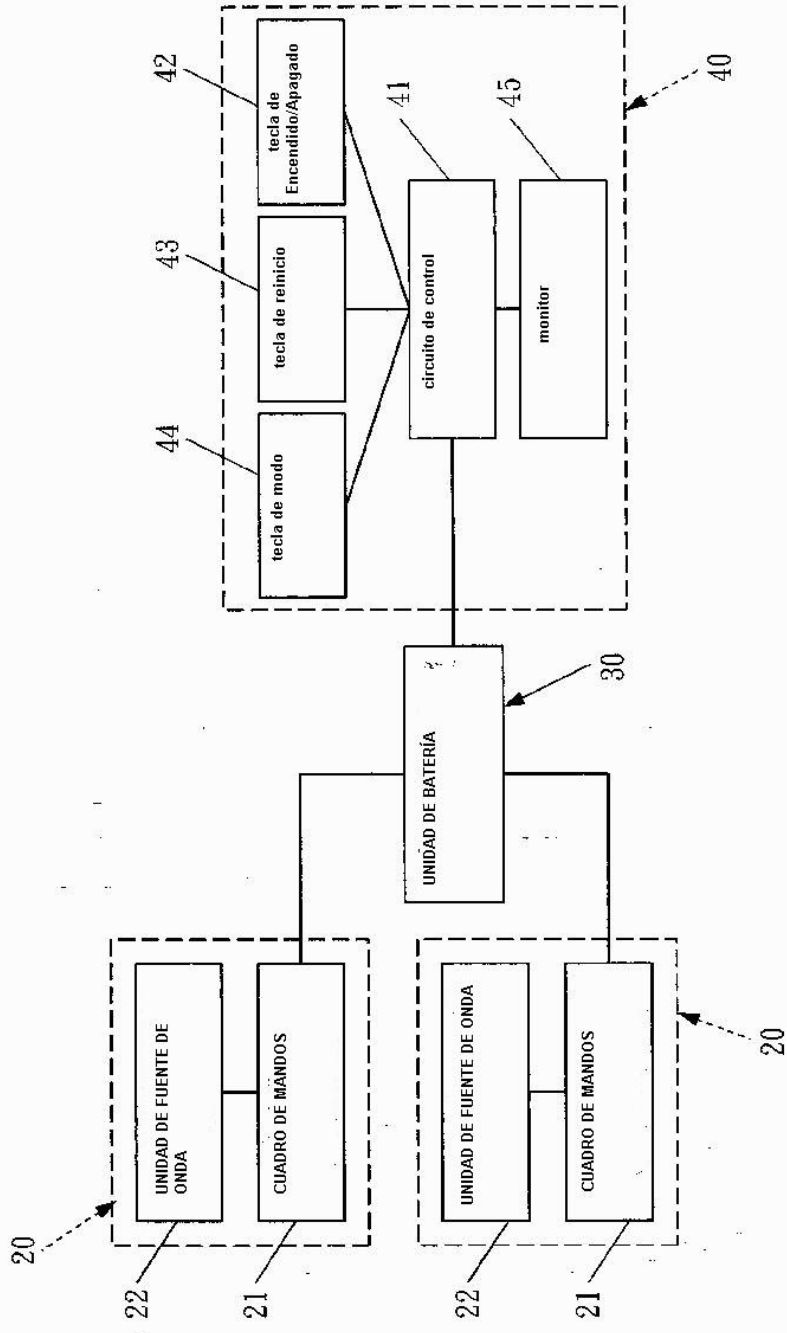


FIG. 4

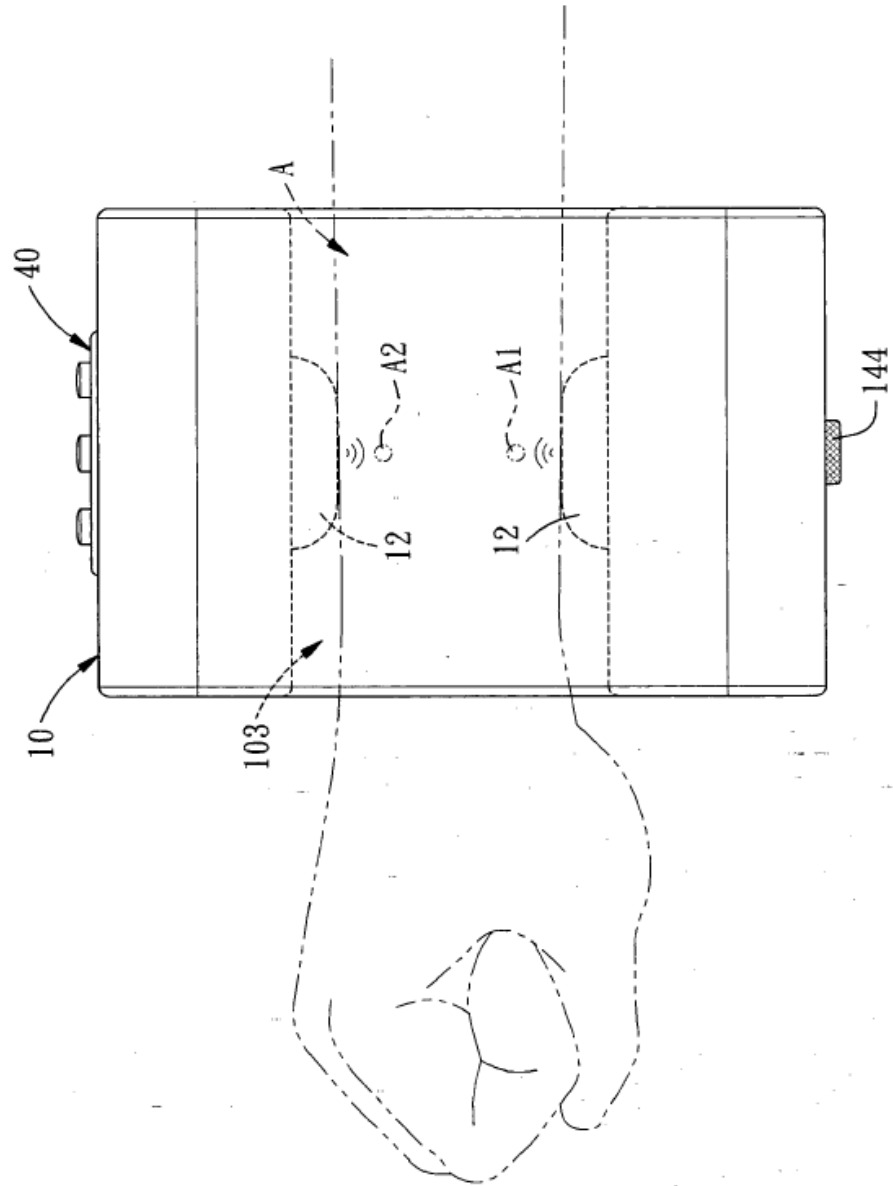


FIG. 5

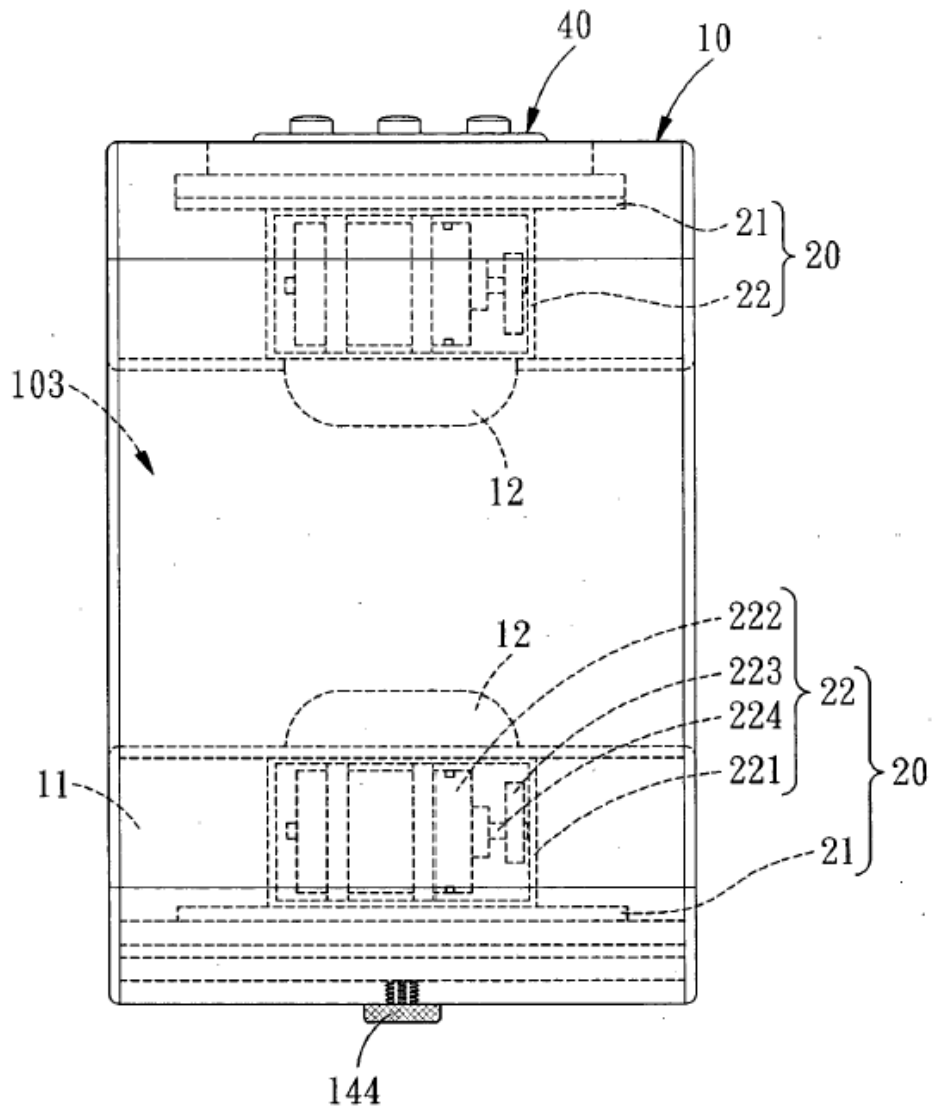


FIG. 6

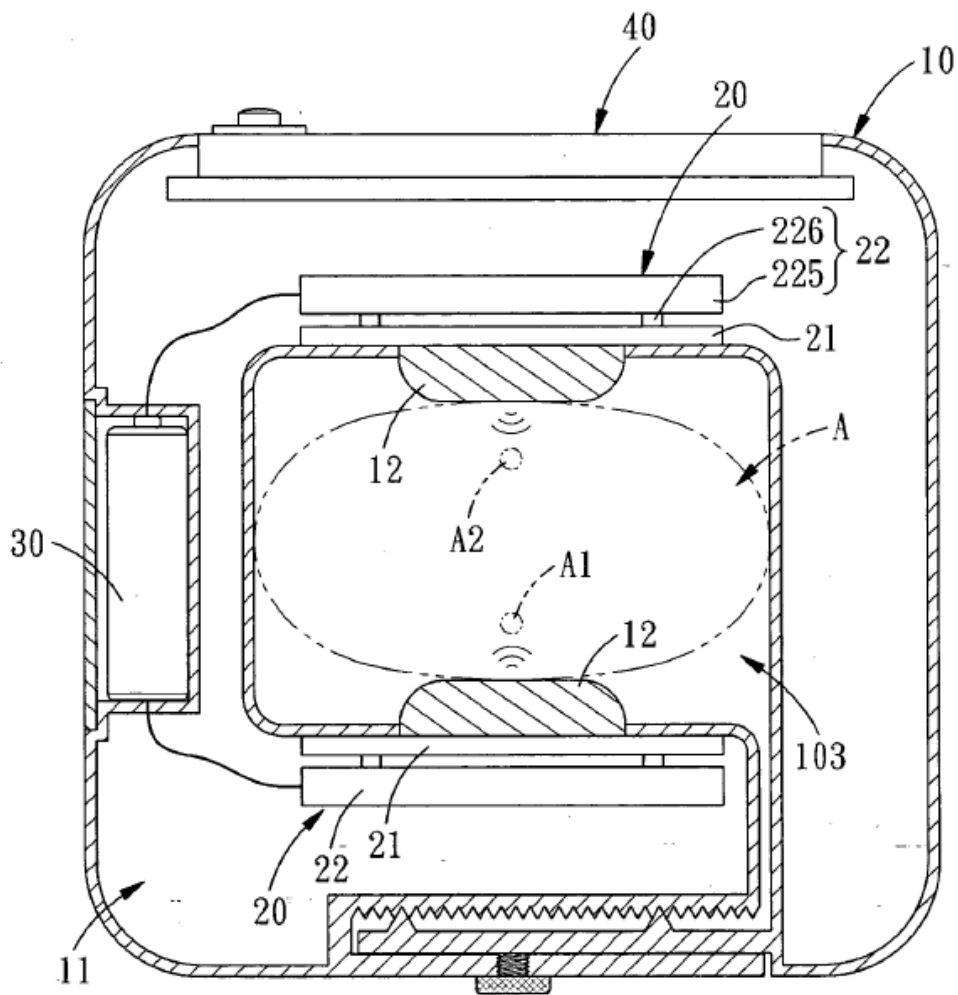


FIG. 7

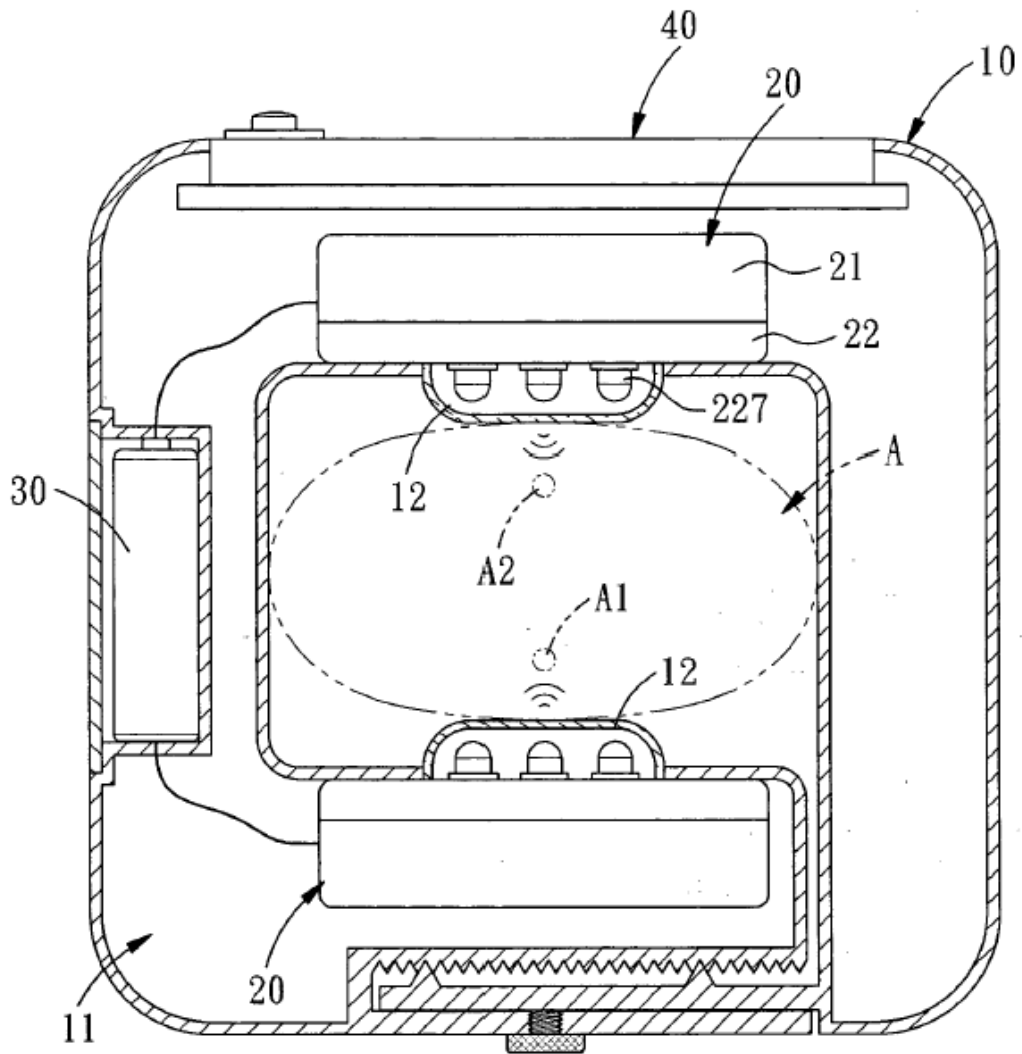


FIG. 8

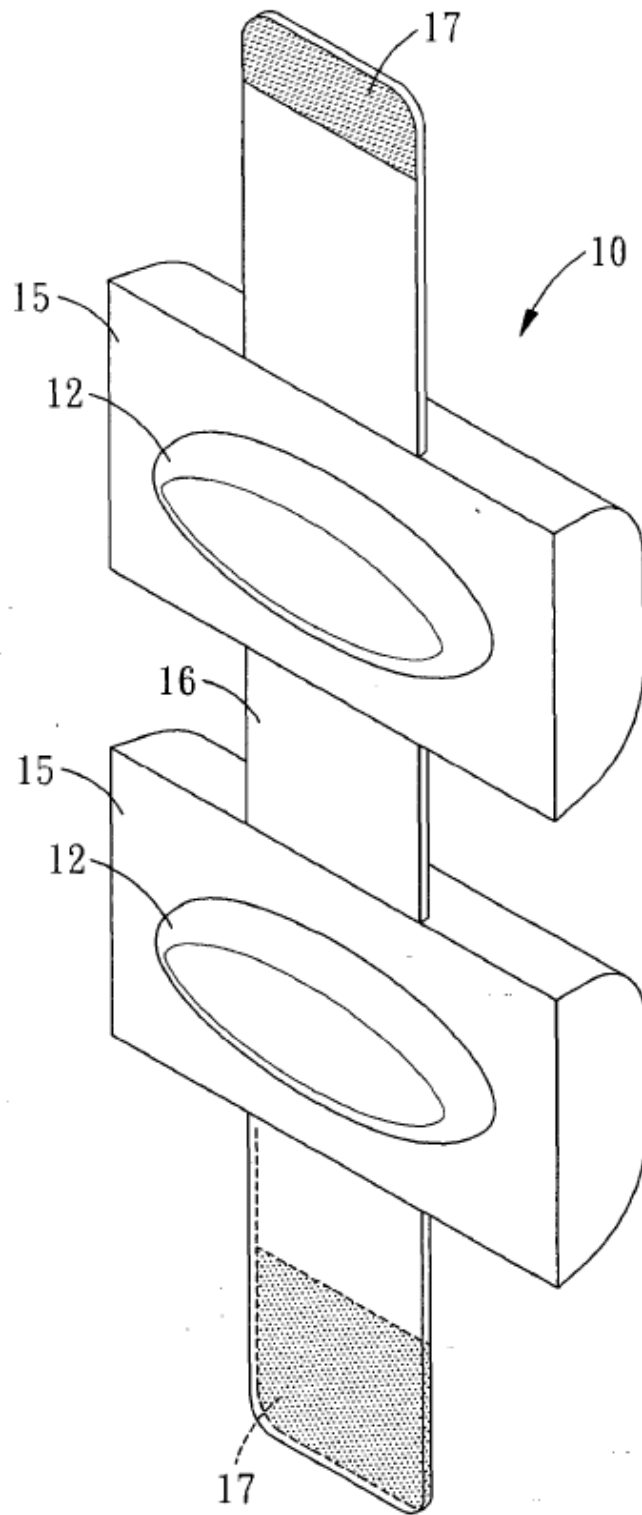


FIG. 9

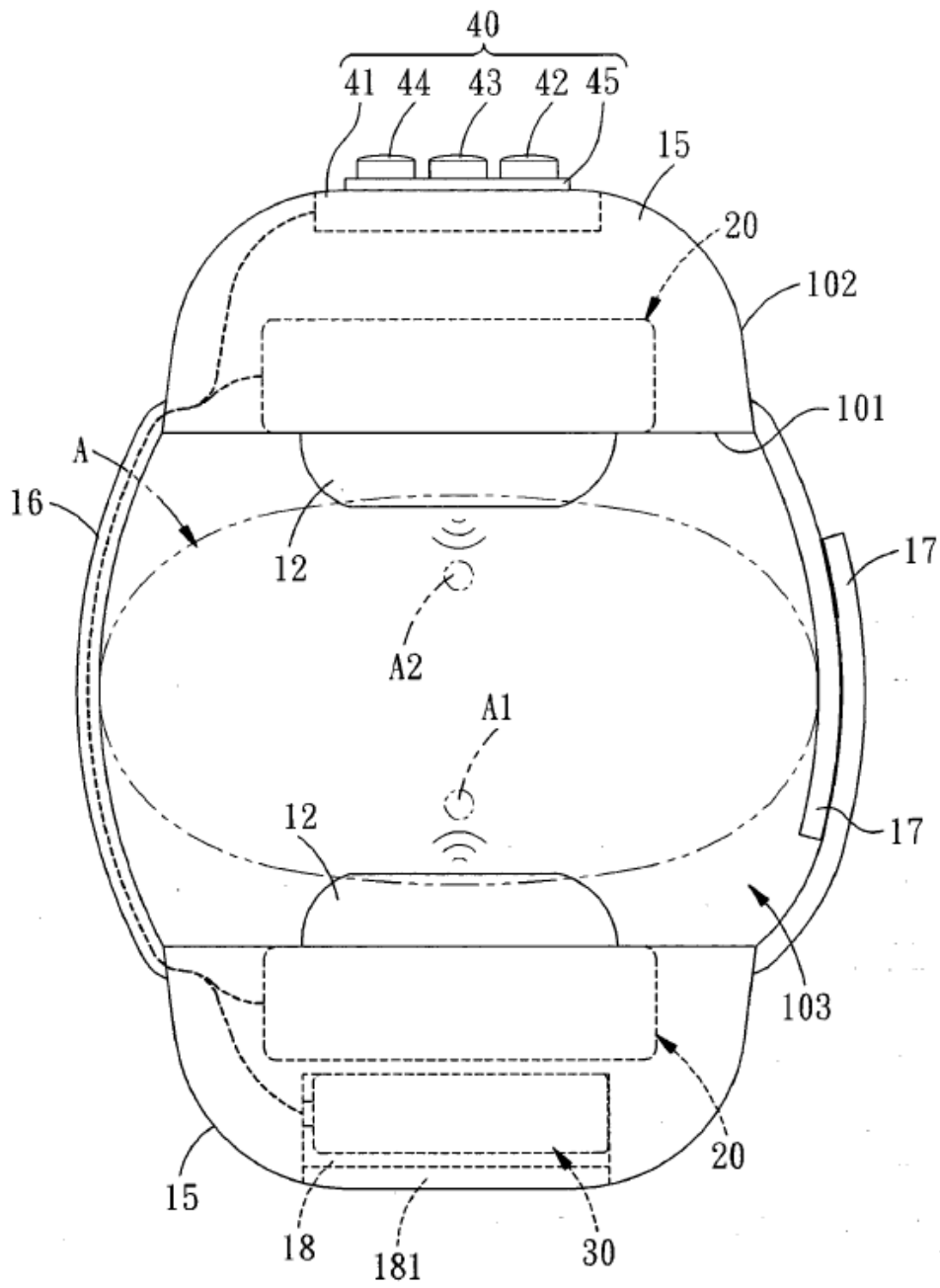


FIG. 10

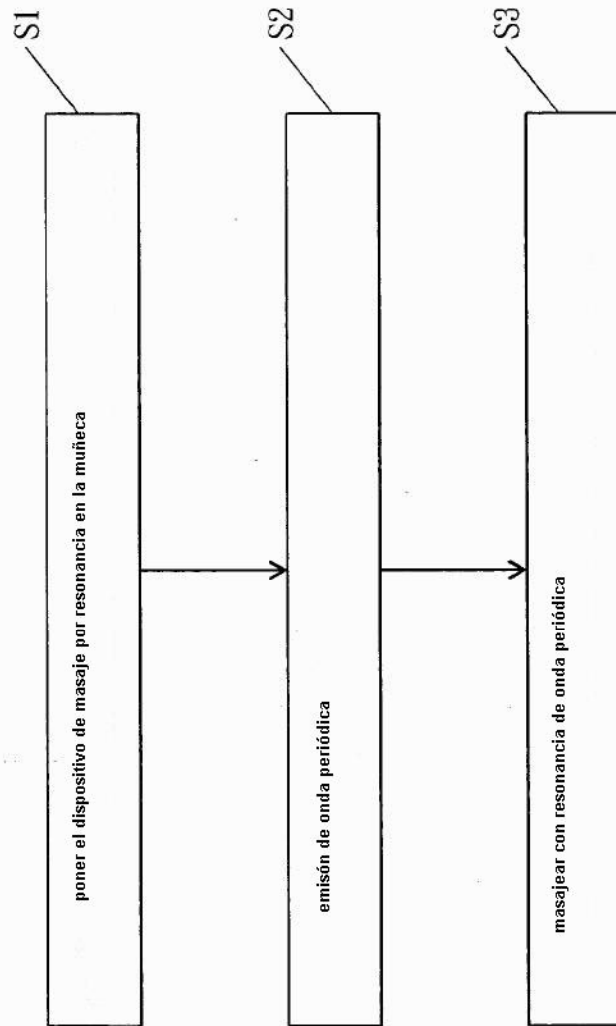


FIG. 11